

## کاربرد گلbad و گلغار در تحلیل پدیده‌ی گردوخاک و تعیین رژیم فصلی بادهای همراه با این پدیده (مطالعه‌ی موردی: شهر سبزوار)

کمال امیدوار \* - دانشیار گروه جغرافیا، دانشگاه یزد  
زری نکونام - دبیر فیزیک آموزش و پژوهش شهرستان مشهد

پذیرش مقاله: ۱۳۸۸/۸/۱۸ تأیید نهایی: ۱۳۹۰/۳/۸

### چکیده

یکی از نیازهای اساسی اقلیم‌شناسی، دستیابی بهروش‌های آسان، سریع و کاربردی تحلیل داده‌های بادسنگی، بهمنظور شناخت رژیم وزش بادهای همراه با گردوخاک، است. پدیده‌ی گردوخاک در سبزوار به عنوان یک مفصل جوی در طی سال به‌طور دائم روی می‌دهد. در این پژوهش، پدیده‌ی گردوخاک از نظر زمانی و فضایی، مورد مطالعه قرار گرفت. بدین منظور داده‌های شامل زمان و تاریخ دیده‌بانی، سمت و سرعت باد و وضعیت هوای حاضر ایستگاه سینوپتیک سبزوار، طی دوره‌ی آماری بیست‌ساله (۱۳۸۷-۱۳۶۷) تهیه شد. نتایج حاصل از تحلیل آماری و تحلیل فضایی داده‌ها با استفاده از نرم‌افزار WRplot (رسم گلbad و گلغار به صورت سالانه و فصلی) نشان می‌دهد، به‌طور متوسط ۱۷/۱۵ روز در سال هوا همراه با گردوخاک است و در دوره‌ی آماری ذکر شده وقوع این پدیده، روند افزایشی داشته است. همچنین، در شهر سبزوار، فصل بهار، شایع‌ترین زمان بروز پدیده‌ی گردوخاک است. بررسی گلbad و گلغار سالانه نیز، تشکیل کانال باد را در مسیر شرقی - غربی تأیید می‌کند که کاملاً با وضعیت توپوگرافی منطقه سازگار است. گلغارهای سالانه که به تفکیک دو گذهوشناسی ۰۶ و ۰۷ ترسیم شدند، مشخص می‌کند، بادهایی که در اثر تشکیل سیستم‌های حرارتی در دوره‌ی گرم سال از نیمه‌ی شرقی به سمت منطقه می‌وزند، در ایجاد گردوخاک‌های محلی و گردوخاک‌های فرامنطقه‌ای نقش مهمی دارند؛ اما نقش سیستم‌های غربی، در انتقال ذرات معلق گردوخاک از سرزمین‌های دورتر، پرنگتر است. گلغارهای فصلی نیز، تأثیر سیستم‌های جوی مختلف را در طی سال در شکل‌گیری پدیده‌ی گردوخاک در منطقه بهتر و دقیق‌تر نشان می‌دهد. با آغاز دوره‌ی سرد سال، وزش بادهای همراه با گردوخاک از نیمه‌ی غربی به سمت شهر سبزوار شدت گرفته و در زمستان به بیشترین حد خود می‌رسد؛ اما با شروع فصل بهار و عقب‌نشینی سیستم‌های غربی، وزش این بادها از نیمه‌ی غربی کاهش می‌یابد؛ به‌طوری‌که، در فصل تابستان وزش آنها از سمت غرب تقریباً به صفر رسیده و همه از نیمه‌ی شرقی به سمت منطقه می‌وزد.

کلیدواژه‌ها: گردوخاک، گلbad، گلغار، رژیم باد، سبزوار.

## مقدمه

دستیابی به روش‌های آسان، سریع و کاربردی تحلیل داده‌های هواشناسی، به منظور شناخت رژیم وزش بادهای همراه با گردودخاک، یکی از نیازهای اساسی متخصصان در کشور گردودخاک‌خیزی مانند ایران است، بهویژه در سال‌های اخیر وقوع مکرر و مداوم این پدیده در نقاط مختلف کشور، سبب دشواری‌های بسیاری گشته است. شناخته‌شده‌ترین و ساده‌ترین روش نمایش آماری داده‌های بادسنگی، گلباد است. دیاگرام گلباد، طبقه‌بندی و توزیع سمت و سرعت باد را در طول یک دوره‌ی آماری در یک ایستگاه معین نشان می‌دهد، ولی در مورد وضعیت بادهای همراه با گردودخاک اطلاعات دقیقی به ما نمی‌دهد. در این پژوهش، به منظور رفع مشکل مذکور، دیاگرام دیگری به نام گل غبار ترسیم شد.

جکسون<sup>۱</sup> (۱۹۱۳) از اولین پژوهشگرانی است که درباره‌ی اثرات توفان‌های گردودخاک بر جو، مطالعاتی انجام داده است. او تغییرات الکتریسیته جو را در زمان رویداد توفان گردودخاک بررسی کرد. مطالعات عمیق‌تر و سیستماتیک بر روی پدیده‌ی گردودخاک، در اوخر دهه‌ی ۱۹۳۰ و در دهه‌ی ۱۹۶۰ شروع شد. مطالعات اورلوسکی<sup>۲</sup> (۱۹۶۲) در ترکمنستان، توزیعی فضایی - زمانی از توفان‌های گردودخاک را به وسیله‌ی یافته‌های ۴۲ ایستگاه هواشناسی در دوره‌ی ۱۹۶۰ - ۱۹۳۶ ثبت کرد (اورلوسکی و همکاران، ۲۰۰۴). چن وینن<sup>۳</sup> (۱۹۹۶) پژوهشی در فلات شمال چین انجام داد و بیان کرد که با افزایش رطوبت خاک، میزان فرسایش بادی کاهش می‌یابد. وی‌هنگ و شالوین شی<sup>۴</sup> (۲۰۰۱)، علل وقوع توفان‌های گردودخاک را مطالعه و اثر آن را بر آب‌وهوا کشور چین بررسی کردند و دریافتند که گرمایش زمین در پهنه‌ی کشور مغولستان و سرمایش زمین در شمال کشور چین، عامل مؤثر در ایجاد گردودخاک در بخش‌های شمالی این کشور است. گودی و میدلتون<sup>۵</sup> (۲۰۰۱)، در زمینه‌ی توفان‌های شمال آفریقا (صحراء) و آثار آن، پژوهش‌هایی انجام دادند و نشان دادند که گردودخاک حاصل از این توفان‌ها تا نواحی مرکزی اروپا و حتی انگلستان، گسترش می‌یابد. چانگ جین‌ما<sup>۶</sup> و همکارانش (۲۰۰۳)، ذرات منفرد موجود در توفان‌های گردودخاک آسیایی را در یک ایستگاه زمینی در ساحل غربی جزیره‌ی چیجوی کره بررسی کردند. تاناکا<sup>۷</sup> و همکارانش (۲۰۰۵)، احتمال انتقال بین قاره‌ای ذرات گردودخاک را از آفریقای شمالی و خاورمیانه به آسیای شرقی مطالعه کردند. وانگ و فانگ<sup>۸</sup> (۲۰۰۶)، در پژوهشی، انتشار و جابه‌جایی ذرات گردودخاک را از نظر آماری و سینوپتیکی در آسیای شرقی بررسی کرده و دریافتند سیستم‌های سینوپتیکی که به سمت مناطق بیابانی شمال آسیا می‌وزند، اگر در سطح زمین بادهایی با سرعت بیشتر از ۶ متر بر ثانیه ایجاد کنند، توفان‌های گردودخاک شدیدی را ایجاد می‌کنند. یانگ<sup>۹</sup> و همکارانش (۲۰۰۷) در شمال چین، فراوانی وقوع توفان گردودخاک را با توجه به تغییرات آب‌وهوا بی در هزار سال گذشته بررسی کردند. بدین منظور از مغزه‌های یخی، حلقه‌های درختان و اسناد

- 
1. Jackson
  2. Orlovsky
  3. Chen Weinan
  4. Weihong & Shaoyinshi
  5. Goudi & Midelton
  6. Chang-Jin Ma
  7. Tanaka
  8. Wang & Fang
  9. Yang

تاریخی استفاده کردند. پژوهش‌های آنها نشان داد که شکل‌گیری توفان‌ها توسط عامل بارش کنترل می‌شود. لیو و پارک<sup>۱</sup> (۲۰۰۷) گزارش‌های مربوط به توفان‌های گردوخاک و ماسه را از ۳۵۵ ایستگاه هواشناسی چین در دوره‌ی آماری ۱۹۶۱-۲۰۰۰ جمع‌آوری کردند. از نتیجه‌ی مطالعات آنها یک رابطه لگاریتمی به صورت  $\text{Log}_{10} N = a - bt$  ارائه شد که فراوانی وقوع توفان‌های ماسه و گردوخاک نسبت به مدت استمرار آنها را بیان می‌کرد. در این رابطه،  $N$  فراوانی رخداد توفان با زمان استمرار معین،  $t$  زمان استمرار توفان است.  $a$  ثابتی است که به شرایط مکان مورد نظر و  $b$  ثابتی است که به شرایط سطحی و آستانه سرعت باد بستگی دارد. یاداو<sup>۲</sup> و همکارانش (۲۰۰۷)، انواع هوایی‌های زیستی موجود در توفان‌های گردوخاک شمال و شمال‌غرب هند را بررسی کردند و متوجه شدند تقریباً در تمام نمونه‌ها میکروب نیگروسپورا<sup>۳</sup> وجود دارد که این میکروب، مولّد نوعی آرژی کاملاً شناخته‌شده است. منگ و ژنگ<sup>۴</sup> (۲۰۰۷) اثر PM<sub>2.5</sub> (ذرات ریز گردوخاک با قطر آبودینامیکی کمتر از ۲/۵ میکرون) را بر DNA ریه موش‌ها بررسی کردند. کیانگ<sup>۵</sup> و همکارانش (۲۰۰۷) در شمال‌شرقی صفحه‌ی شانگهای - تی‌باتان، میزان رسوب ماسه و گردوخاک را در مدت یک سال و نیم و در شانزده مورد توفان گردوخاک مطالعه کرده و نتیجه گرفتند که رژیم باد یعنی قدرت و وردش‌پذیری آن، کلید کنترل میزان رسوب گردوخاک و ماسه طی توفان گردوخاک است. چان و یو<sup>۶</sup> (۲۰۰۸) اثر ذرات ناشی از توفان‌های گردوخاک را بر آلودگی هوای شهرهای بزرگ چین بررسی کردند. یانگ و همکارانش (۲۰۰۸) در شمال‌شرقی آسیا فرایندهای جوی مربوط به رخداد بهاری توفان‌های گردوخاک را بین سال‌های ۲۰۰۰ تا ۲۰۰۶ مورد بررسی قرار دادند. در مقایسه بین بهار سال‌هایی که بیشترین فراوانی وقوع توفان گردوخاک (۲۰۰۶) و کمترین آن (۲۰۰۳) اتفاق افتاده بود، چرخه‌های غیرعادی در تroposfer شناسایی شد. در ایران کارهای محدودی در این زمینه انجام شده است. مرجانی (۱۳۷۲) با استفاده از نقشه‌های سینوپتیک، عوامل مؤثر بر وقوع توفان در استان خراسان را طبقه‌بندی کرد. در سال ۱۳۷۹ حسینی به بررسی تأثیر سیستم‌ها و جریان‌های جوی ایران، در فصول مختلف سال پرداخت. امیدوار در سال ۱۳۸۴ توفان‌های ماسه در دشت یزد - اردکان را از نظر سینوپتیکی مطالعه کرد. ذوالقاری و عابدزاده (۱۳۸۴) در پژوهشی با عنوان "تحلیل سینوپتیک سیستم‌های گردوخاک در غرب ایران" شرایط پیدایش و منشأ سیستم‌های گردوخاک غرب کشور را بررسی کردند.

پدیده‌ی گردوخاک در طول سال به‌طور مکرر در شهر سبزوار اتفاق می‌افتد و از آن‌جا که در بسیاری از موارد، گزارش این پدیده فقط در ایستگاه سینوپتیک سبزوار ثبت می‌شود، یکی از مشکلات جوی محلی به‌شمار می‌آید. به عنوان مثال، در ۲۷ اسفند سال ۱۳۸۰ توفان گردوخاک بسیار شدیدی در این شهر اتفاق افتاد که دید افقی را به کمتر از ۵۰ متر کاهش داد، اما در همان روز، حداقل دید افقی در شهرهای مجاور آن یعنی نیشابور و کاشمر ۱۰۰۰۰ متر و در مشهد به ۶۰۰۰ متر رسید و پدیده‌ی خاصی نیز در گزارش دیده‌بانی هیچکدام از این شهرها ثبت نشد. در تاریخ ۹ خرداد ۱۳۸۷ نیز،

1. Liu & Park
2. Yadav
3. Nigrospora
4. Meng & Zhang
5. Qiang
6. Chan & Yao

توفان گردوخاک بسیار شدیدی در این شهر روی داد (شکل ۱). در این روز باد بسیار شدیدی با سرعت بیش از ۲۰ متر بر ثانیه، به صورت کمرنگی از شهر سبزوار وارد استان خراسان رضوی شد و از شهرهای نیشابور، مشهد، قوچان، فریمان و تربت حیدریه گذشت و از شهر سرخس در شمال شرقی این استان خارج شد، با این وجود، فقط در شهر سبزوار توفان گردوخاک بی‌سابقه‌ای به صورت ستون‌های عظیمی از ذرات معلق ظاهر شد و دید افقی را به کمتر از چند متر کاهش داد (اداره‌ی کل هواشناسی مشهد، ۱۳۸۷). در این مقاله به مطالعه‌ی آماری و تحلیل رژیم فصلی بادهای همراه با گردوخاک در شهر سبزوار می‌پردازیم و مهم‌ترین جهات وزش بادهای همراه با گردوخاک را شناسایی می‌کنیم. از نتایج بدست‌آمده می‌توانیم راه کارهایی برای کاهش و یا کنترل آثار زیانبار این پدیده ارائه دهیم.



شکل ۱. توفان شدید گردوخاک، تاریخ ۹/۳/۱۳۸۷، جاده‌ی کمرنگی جنوب سبزوار

## مواد و روش

در این مقاله، برای مطالعه‌ی رژیم باد، شهر سبزوار در دوره‌ی آماری بیست‌ساله (۱۳۶۷-۱۳۸۷) در نظر گرفته شد. به این منظور، ابتدا، داده‌های ساعتی ثبت شده در ایستگاه سینوپتیک سبزوار در دوره‌ی آماری ذکر شده از اداره‌ی کل هواشناسی مشهد دریافت شد. از میان این داده‌ها، داده‌هایی شامل تاریخ و ساعت دیده‌بانی، جهت و سرعت باد، وضعیت هوای حاضر و گذشته گردآوری شد؛ سپس با استفاده از این داده‌ها تحلیلی آماری در مورد فراوانی و قوع پدیده‌ی گردوخاک در بازه‌های زمانی سالانه، فصلی و ساعتی انجام گرفت. پس از آن، به منظور تجزیه و تحلیل داده‌های بادسنجی از نرم‌افزار WRPLOT ver 5/9، که برای انجام محاسبه‌های آماری باد و رسم گلباد طراحی شده، استفاده شد. داده‌های مورد استفاده این نرم‌افزار شامل، جهت و سرعت باد از بین داده‌های موجود (در مجموع ۵۷۴۶۲ مورد گزارش ساعتی) گردآوری و به شکل قابل استفاده برای این نرم‌افزار تبدیل شد، سپس گلباد سالانه‌ی شهر سبزوار در شانزده جهت با فواصل ۲۲/۵ درجه و نُه طبقه سرعت رسم شد. برای خواندن راهنمای نقشه نیز، از نرم‌افزار PAINT استفاده شد. در جدول ۱، جهات شانزده‌گانه برای رسم گلباد آورده شده است.

## جدول ۱. جهات شانزده گانه ترسیم دیاگرام گلbad و گل غبار

ردیف	جهت	زاویه (درجه)	ردیف	جهت	زاویه (درجه)
۱	شمال	۳۴۸/۷۵-۱۱/۲۵	۹	جنوب	۱۶۸/۷۵-۱۹۱/۲۵
۲	شمال - شمال شرقی	۱۱/۲۵-۳۳/۷۵	۱۰	جنوب - جنوب غربی	۱۹۱/۲۵-۲۱۳/۷۵
۳	شمال شرقی	۳۳/۷۵-۵۶/۲۵	۱۱	جنوب غربی	۲۱۳/۷۵-۲۳۶/۲۵
۴	شرق - شمال شرقی	۵۶/۲۵-۷۸/۷۵	۱۲	غرب - جنوب غربی	۲۳۶/۲۵-۲۵۸/۷۵
۵	شرق	۷۸/۷۵-۱۰۱/۲۵	۱۳	غرب	۲۵۸/۷۵-۲۸۱/۲۵
۶	شرق - جنوب شرقی	۱۰۱/۲۵-۱۲۳/۷۵	۱۴	غرب - شمال غربی	۲۸۱/۲۵-۳۰۳/۷۵
۷	جنوب شرقی	۱۲۳/۷۵-۱۴۶/۲۵	۱۵	شمال غربی	۳۰۳/۷۵-۳۲۶/۲۵
۸	جنوب - جنوب شرقی	۱۴۶/۲۵-۱۶۸/۷۵	۱۶	شمال - شمال غربی	۳۲۶/۲۵-۳۴۸/۷۵

انعطاف‌پذیری نرم‌افزار مذکور سبب شد تا بتوانیم، دیاگرام دیگری با عنوان "گل غبار" ترسیم کنیم. برای رسم این دیاگرام، متغیرهای وضعیت هوای حاضر و هوای گذشته از میان تمام متغیرهای موجود در داده‌های ساعتی ایستگاه سینوپتیک سبزوار، مورد بررسی قرار گرفت. کدهای ۶ تا ۹ و ۳۵ وضعیت هوای حاضر یک ایستگاه هواشناسی را به هنگام بروز پدیده‌ی گردوخاک با شرایط متفاوت، نشان می‌دهد. در جدول ۲ نام و توضیح مربوط به هر کد آورده شده است (مجموعه‌ی دستورالعمل کدها و روش‌های دیده‌بانی سطح زمین، ۱۳۸۷). بنابراین، ابتدا تمام ساعت‌های دیده‌بانی با گزارش کدهای ذکر شده، انتخاب شد. در مجموع ۶۴۷ مورد گزارش ساعتی پدیده‌ی گردوخاک از بین آمار بیست‌ساله‌ی شهر سبزوار استخراج شد، سپس با استفاده از متغیرهای سرعت و جهت باد مربوط به این داده‌ها و با استفاده از نرم‌افزارهای ذکر شده، دیاگرام گل غبار سالانه در شانزده جهت و نُه طبقه سرعت کشیده شد. این دیاگرام، طبقه‌بندی و توزیع سمت و سرعت بادهای همراه با گردوخاک را در یک ایستگاه هواشناسی در دوره‌ی آماری مورد نظر مشخص می‌کند. در ادامه، برای انجام مطالعات دقیق‌تر، دیاگرام‌های گلbad و گل غبار فصلی به روش مذکور رسم شد. در این دیاگرام‌ها، باد آرام بادی تعریف شده است که سرعت آن کمتر از ۱ متر بر ثانیه باشد.

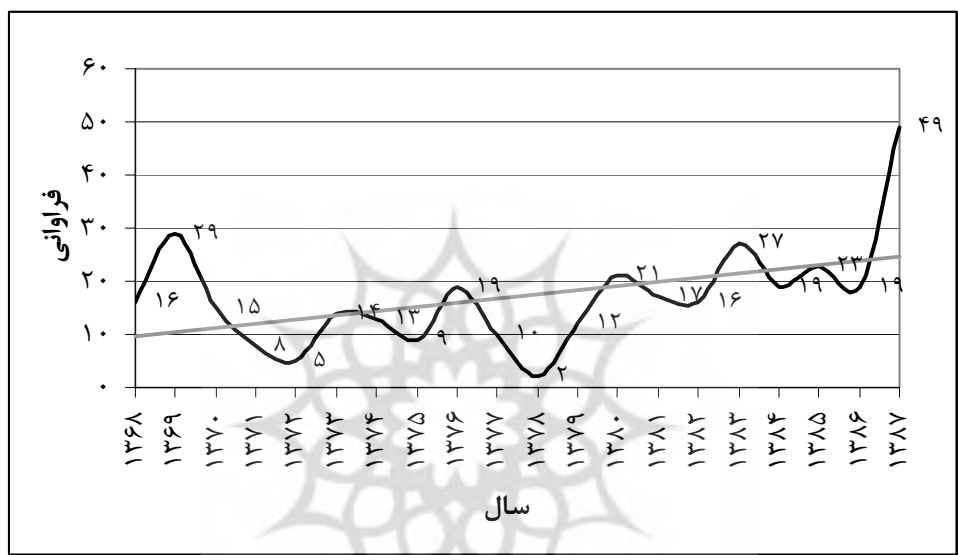
## جدول ۲. کدهای مختلف هواشناسی برای بیان انواع پدیده‌ی گردوخاک

کد هواشناسی	نام علمی	توضیحات
۰۶	گردوخاک معلق	گردوخاک معلق در هوا که مسافت زیادی را پوشانده است.
۰۷	گردوخاک	گردوخاک یا ماسه‌ای که در محل ایستگاه از زمین بلند شده است.
۰۸	گردید	گردیدهای تکامل یافته در خود ایستگاه یا اطراف آن.
۰۹	توفان	گردوخاک در ساعت دیده‌بانی در اطراف ایستگاه وجود دارد یا در طی ساعت گذشته در خود ایستگاه وجود داشته است.
۱۰	توفان گردوخاک یا ماسه ملایم	در طول ساعت گذشته، از شدت توفان کاسته شده است.
۱۱	توفان گردوخاک یا ماسه ملایم	در طول ساعت گذشته، شدت توفان تغییری نکرده است.
۱۲	توفان گردوخاک یا ماسه ملایم	در طول ساعت گذشته، بر شدت توفان افزوده شده است.
۱۳	توفان گردوخاک یا ماسه شدید	در طول ساعت گذشته، از شدت توفان کاسته شده است.
۱۴	توفان گردوخاک یا ماسه شدید	در طول ساعت گذشته، شدت توفان تغییری نکرده است.
۱۵	توفان گردوخاک یا ماسه شدید	در طول ساعت گذشته، بر شدت توفان افزوده شده است.

## یافته‌های تحقیق

### تحلیل آماری پدیده‌ی گردوخاک

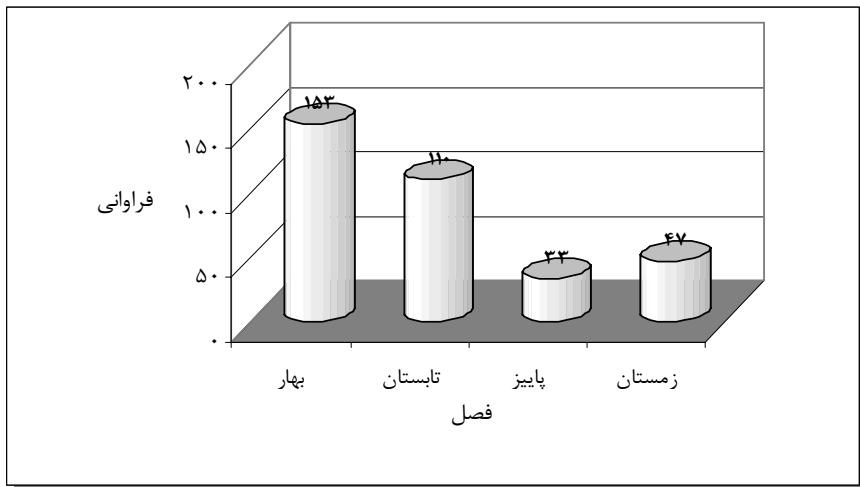
در طول دوره‌ی آماری بیست‌ساله (۱۳۶۷-۱۳۸۷)، در مجموع ۳۴۳ روز توسط ایستگاه هواشناسی سبزوار به عنوان روز همراه با پدیده‌ی گردوخاک گزارش شده است. به طور میانگین ۱۵/۱۷ روز در سال پدیده‌ی گردوخاک روی می‌دهد. شکل ۲ فراوانی و روند سالانه‌ی روزهای همراه با گردوخاک را در طول دوره‌ی آماری مورد مطالعه نشان می‌دهد.



شکل ۲. فراوانی و روند سالانه‌ی وقوع روزهای همراه با گردوخاک در شهر سبزوار طی دوره‌ی آماری ۱۳۶۷-۱۳۸۷

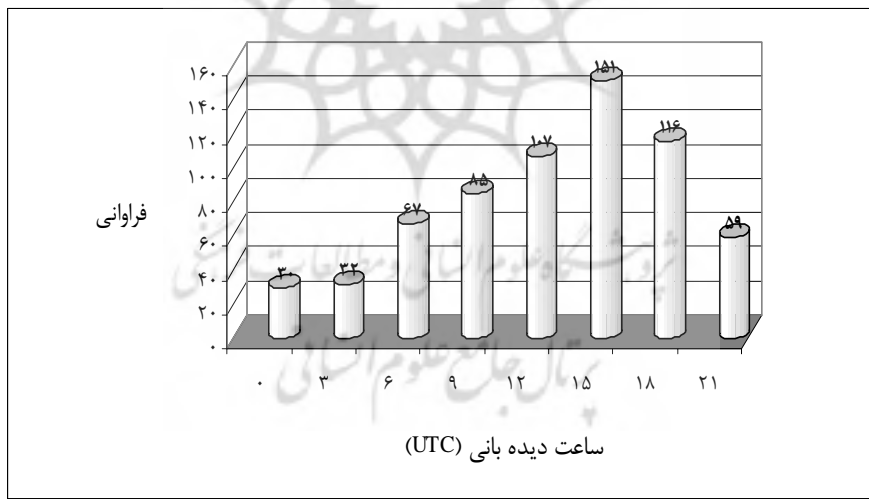
همان‌طور که در شکل ۲ مشاهده می‌شود، سال ۱۳۸۷ با ۴۹ روز بیشترین و سال ۱۳۷۸ با ۲ روز کمترین فراوانی پدیده‌ی گردوخاک را داشته‌اند. همچنین، با وجود تمام تلاش‌هایی که در زمینه‌ی کنترل و مهار این پدیده با اجرای طرح تثبیت تپه‌های ماسه‌ای در اطراف این شهر که در اداره‌ی منابع طبیعی انجام شده است، وقوع روزهای همراه با گردوخاک طی دوره‌ی آماری مذکور، روند افزایشی داشته است.

در ادامه، وقوع روزهای همراه با پدیده‌ی گردوخاک به صورت فصلی مورد مطالعه قرار گرفت. در شکل شماره ۳، فراوانی فصلی روزهای مذکور طی دوره‌ی آماری مورد مطالعه آورده شده است. با توجه به شکل ۳، در شهر سبزوار، بیشترین فراوانی این پدیده با ۱۵۳ روز، در فصل بهار رخ داده است.



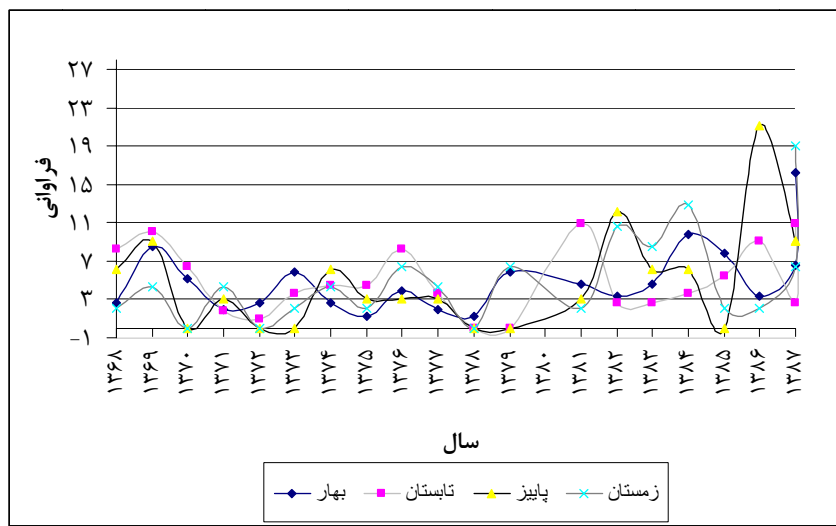
شکل ۳. فراوانی فصلی وقوع روزهای همراه با گردوخاک در شهر سبزوار طی دوره‌ی آماری ۱۳۶۷-۱۳۸۷

در شکل ۴ نیز فراوانی ساعتی پدیده‌ی گردوخاک طی دوره‌ی آماری بیست‌ساله دیده می‌شود. در این شکل بیشترین گزارش ساعتی این پدیده، مربوط به ساعت ۱۵ (۶/۵ بعدازظهر به وقت محلی) با ۱۵۱ مورد گزارش است.



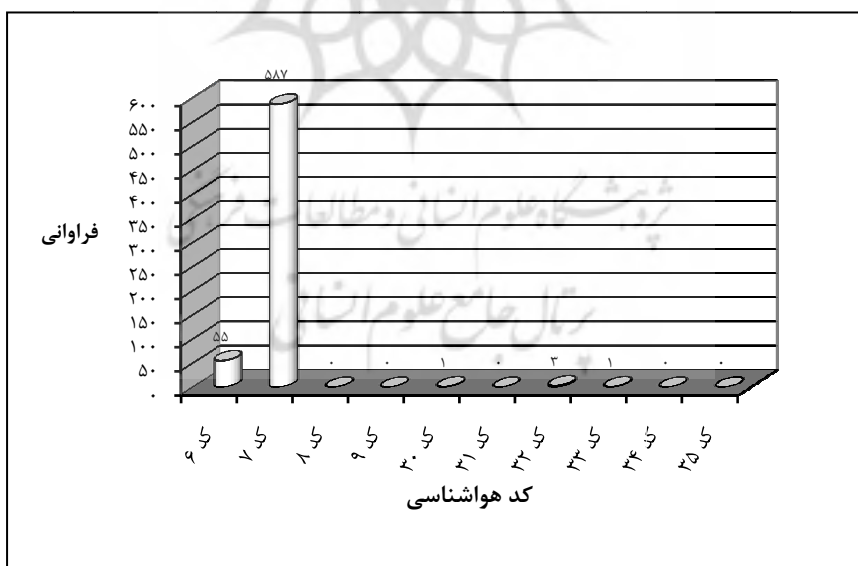
شکل ۴. فراوانی ساعتی وقوع روزهای همراه با گردوخاک در شهر سبزوار طی دوره‌ی آماری ۱۳۶۷-۱۳۸۷

در شکل ۵ در طول سال‌های ۱۳۶۸-۱۳۸۷ فراوانی فصلی پدیده‌ی گردوخاک با هم مقایسه شده است. همان‌طور که در شکل دیده می‌شود، در سال‌های مختلف، نظم مشخصی در وقوع فصلی این پدیده وجود ندارد و این مسئله مبین این نکته است که عوامل مؤثر در ایجاد این پدیده، از سالی به سال دیگر تغییر می‌کنند یعنی شرایط اقلیمی و سیستم‌های هوایی نقش مهم‌تر و پرنگ‌تری در بروز این پدیده نسبت به شرایط محلی دارند.



شکل ۵. مقایسه فراوانی فصلی و قوع روزهای همراه با گردوخاک در شهر سبزوار طی دوره آماری ۱۳۶۷-۱۳۸۷

در ادامه، فراوانی کُدهای هواشناسی مربوط به پدیده‌ی گردوخاک محاسبه شد که در شکل ۶ این فراوانی‌ها دیده می‌شود. کُد ۰۷ با ۵۸۷ مورد گزارش ساعتی، بیش از ۹۰ درصد موقع را طی دوره‌ی آماری مورد نظر به خود اختصاص داده است. کُدهای ۰۸، ۰۹، ۳۱، ۳۴ و ۳۵ در این مدت اصلاً گزارش نشده است.



شکل ۶. مقایسه فراوانی گزارش کُدهای هواشناسی مربوط به پدیده‌ی گردوخاک در شهر سبزوار طی دوره‌ی آماری ۱۳۶۷-۱۳۸۷

همان‌طور که دیده می‌شود، معرض گردوخاک در سبزوار بیشتر محلی است و به صورت بلند شدن ذرات گردوخاک در محل ایستگاه سبزوار گزارش می‌شود. وقوع توفان‌های گردوخاک به ندرت اما بسیار شدید و خسارت‌بار است. در جدول شماره ۳، تعداد گزارش‌های هر کُد به تفکیک ماههای سال آورده شده است.

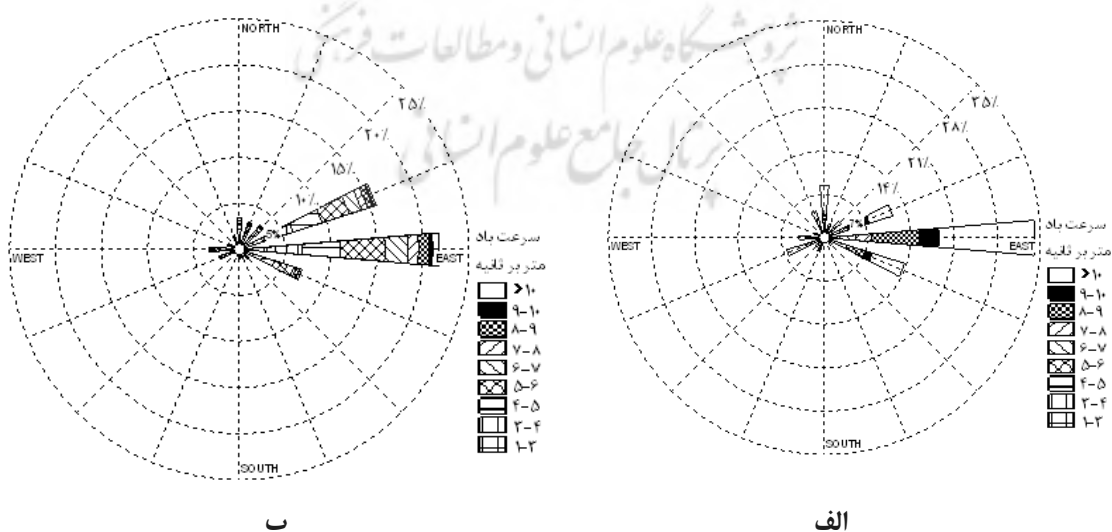
جدول ۳. فراوانی گزارش کُدهای هواشناسی به تفکیک ماه‌های سال طی دوره‌ی آماری ۱۳۶۷-۱۳۸۷

ماه	فروردين	اردیبهشت	خرداد	تیر	مرداد	شهریور	مهر	آبان	دی	آذر	پیمن	اسفند
فراآنی کُد ۰۶	۸	۱۰	۶	۱	۷	۲	۷	۷	۰	۰	۲	۶
فراآنی کُد ۰۷	۴۶	۱۰۰	۱۲۹	۱۰۷	۴۲	۴۲	۴۲	۸	۰	۰	۲۱	۶۰

با توجه به داده‌های موجود در جدول ۳، کُد ۰۶ بیشتر در اسفندماه و دو فصل بهار و تابستان گزارش شده است. به نظر می‌رسد که در انتقال ذرات گردوخاک معلق با منشأ غیر محلی (کُد ۰۶)، علاوه بر نقش سیستم‌های حرارتی که در دوره‌ی گرم سال بر منطقه حاکم می‌شود، نقش سیستم‌های غربی که با رطوبت کم ولی همراه با بادهای شدید به منطقه وارد می‌شوند نیز، قابل توجه است. این در حالی است که حداقل گزارش کُد ۰۷ (گردوخاک محلی)، در دو ماه خرداد و تیر، همزمان با دریافت بیشترین انرژی تابشی خورشید و استیلای سیستم‌های حرارتی بر دشت سبزوار و بلندی‌های مجاور آن بوده و از مهرماه با ورود مجدد سیستم‌های غربی به منطقه، فراوانی وقوع این پدیده بهشت کاهش یافته است.

### مطالعه‌ی گلbad و گل غبار سالانه

در شکل ۷-الف، گلbad سالانه‌ی ایستگاه سینوپتیک سبزوار، با توجه به کل داده‌های ساعتی این ایستگاه در طول دوره‌ی آماری ۱۳۶۷-۱۳۸۷ در شانزده جهت و نه طبقه سرعت رسم شده است. شکل ۷-ب، گل غبار سالانه‌ی این ایستگاه را با در نظر گرفتن کُدهای ۰۶، ۰۷، ۳۰، ۳۲ و ۳۳ نشان می‌دهد.



شکل ۷. الف: گلbad سالانه‌ی ایستگاه سینوپتیک سبزوار؛ ب: گل غبار سالانه‌ی ایستگاه سینوپتیک سبزوار، دوره‌ی آماری ۱۳۶۷-۱۳۸۷

در جدول ۴ طبقه‌های سرعت باد در این دو دیاگرام با هم مقایسه شده است. در این جدول مجموع درصد نه طبقه سرعت و درصد باد آرام، صدرصد خواهد شد.

جدول ۴. درصد توزیع طبقه‌های سرعت باد و بادهای همراه با گردوخاک در ایستگاه سینوپتیک سبزوار،

در طول دوره‌ی آماری ۱۳۶۷-۱۳۸۷

طبقه‌های سرعت (متربر ثانیه)	درصد باد آرام	۱-۳	۳-۴	۴-۵	۵-۶	۶-۷	۷-۸	۸-۹	۹-۱۰	بیشتر از ۱۰
باد	۳۱/۷	۱۲/۳	۱۳/۹	۱۳/۳	۱۳/۱	۶/۷	۲/۹	۳/۲	۰/۹	۲
بادهای همراه با گردوخاک	۲	۰/۹	۷/۶	۴/۹	۳/۳	۱/۶	۷/۲	۲۱/۴	۷/۴	۴۲/۷

از مقایسه‌ی گلbad و گل غبار سالانه و بررسی طبقه‌های سرعت باد در جدول ۴، نتایج زیر به دست می‌آید:

۱- در ۳۱/۷ درصد از کل ساعتهای دیده‌بانی سالانه، هوا آرام است یعنی در  $\frac{۳}{۳} ۶۸$  درصد از سال بادهایی با سرعت بیش از ۱ متربر ثانیه در محل می‌وزد که نشان دهنده‌ی بادخیز بودن منطقه است، همچنین ۲ درصد از زمان‌هایی که در ایستگاه سینوپتیک سبزوار پدیده‌ی گردوخاک گزارش شده است، سرعت باد از یک متربر ثانیه کمتر بوده و به عنوان هوای آرام همراه با پدیده‌ی گردوخاک محاسبه شده است.

۲- با توجه به شکل ۷-الف، جهت باد غالب، شرقی است که در حدود  $\frac{۶۵}{۲۲}$  درصد از کل ساعتهای وزش باد را در طول سال شامل می‌شود. در شکل ۷-ب، جهت باد غالب در دیاگرام گل غبار نیز، شرقی است که  $\frac{۴۴}{۳۵}$  درصد موقع را طی سال به خود اختصاص داده است. بدین معنی که  $\frac{۴۴}{۳۵}$  درصد از بادهایی که در منطقه‌ی پدیده‌ی گردوخاک ایجاد می‌نمایند از سمت شرق شهر می‌وزند. ملاحظه می‌شود که جهت باد غالب در گلbad و گل غبار سالانه، با هم هماهنگ است و جهت آن شرقی است.

۳- سرعت متوسط باد در ایستگاه سینوپتیک سبزوار طی دوره‌ی آماری ۱۳۶۷-۱۳۸۷، ۳ متربر ثانیه محاسبه شد که در نگاه اول، وزش بادهایی با این سرعت برای ایجاد پدیده‌ی گردوخاک مناسب نیست، اما، محاسبه‌ی سرعت متوسط  $\frac{۷۵}{۸}$  متربر ثانیه برای بادهای همراه با گردوخاک که در حدود  $\frac{۴۳}{۴۳}$  درصد آنها سرعتی بیش از ۱۰ متربر ثانیه دارند، نشان می‌دهد در موقعی از سال، شرایط برای وزش بادهایی با قدرت زیاد فراهم می‌شود که این بادها به همراه سایر عوامل می‌توانند پدیده‌ی گردوخاک را در منطقه ایجاد کند.

۴- بیشترین فراوانی طبقه‌ی سرعت باد، مربوط به طبقه‌ی ۳ تا ۴ متربر ثانیه با  $\frac{۹}{۱۳}$  درصد در طول دوره‌ی آماری ۱۳۶۷-۱۳۸۷ است، اما، بیشترین فراوانی طبقه‌ی سرعت بادهای همراه با گردوخاک، در طول همین دوره، به طبقه‌ی ۸ تا ۹ متربر ثانیه با  $\frac{۴}{۲۱}$  درصد اختصاص دارد.

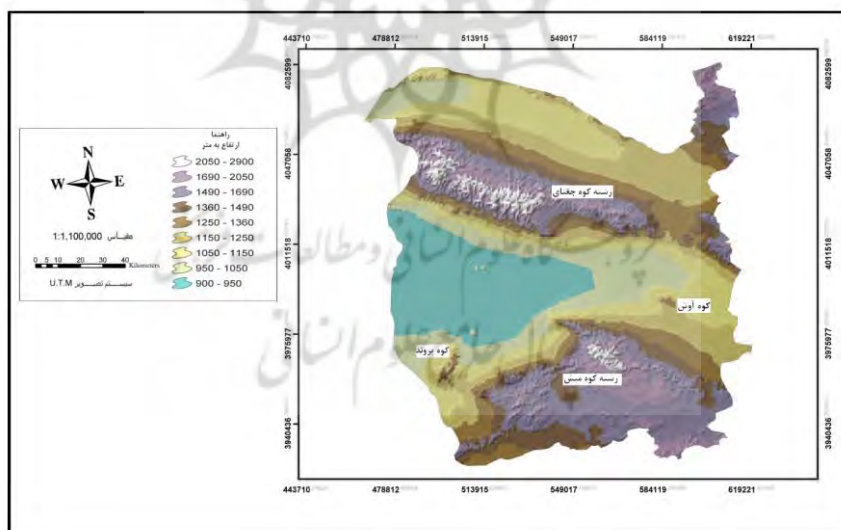
۵- بر طبق دیاگرام گلbad سالانه در  $\frac{۷۳}{۷۵}$  درصد از کل زمان‌های وزش باد به منطقه در طول دوره‌ی آماری بیست‌ساله، جهت وزش باد از شمال شرق تا جنوب شرق شهر را پوشش می‌دهد و در  $\frac{۶۵}{۱۱}$  درصد موقع از جنوب غرب تا شمال غرب را دربرمی‌گیرد و فقط در  $\frac{۶}{۱۴}$  درصد، از جهات دیگر به سمت سبزوار می‌وزد. یعنی در  $\frac{۴}{۸۵}$  درصد از کل زمان‌های وزش باد به منطقه، جهت وزش باد در مسیر شرقی - غربی است، همچنین با توجه به دیاگرام گل غبار سالانه،

در ۶۶/۴۶ درصد از کل زمان‌های وزش بادهای همراه با گردوخاک به منطقه از جهت شمال‌شرق تا جنوب‌شرق است و در ۱۴/۹ درصد، از جنوب‌غرب تا شمال‌غرب را دربرمی‌گیرد که در مجموع ۸۱/۳۶ درصد از کل موقع در مسیر شرقی - غربی است. این نتیجه با وضعیت توپوگرافی شهرستان سبزوار (شکل ۹) مطابقت کامل دارد و به نظر می‌رسد که باد در این منطقه، در مسیر شرقی - غربی کانالیزه می‌شود (شکل ۸).



منبع: مرکز تحقیقات منابع طبیعی سبزوار، ۱۳۸۷

شکل ۸. نیم‌رخت توپوگرافی شهرستان سبزوار

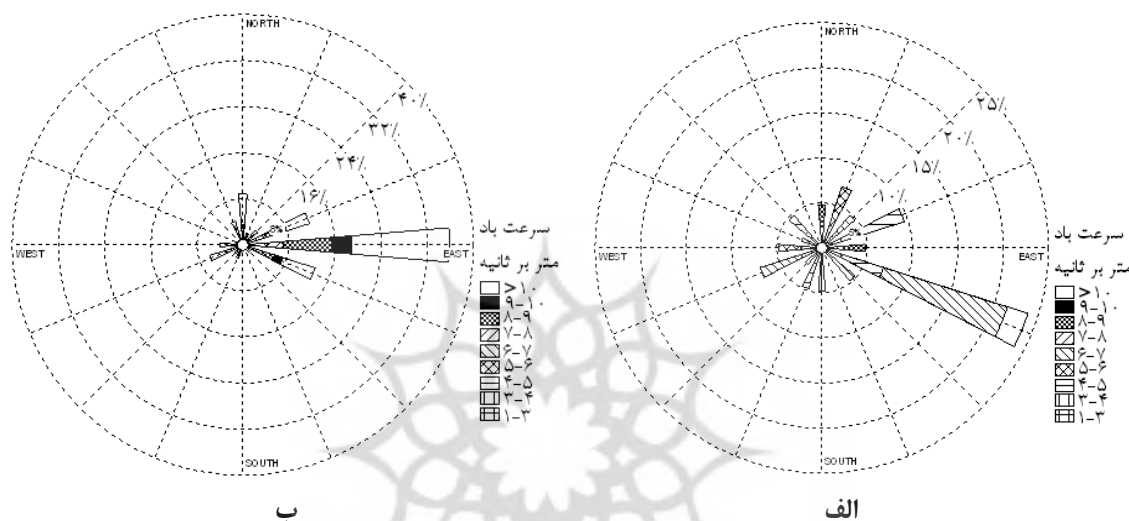


منبع: مرکز تحقیقات منابع طبیعی سبزوار، ۱۳۸۷

شکل ۹. توپوگرافی شهرستان سبزوار

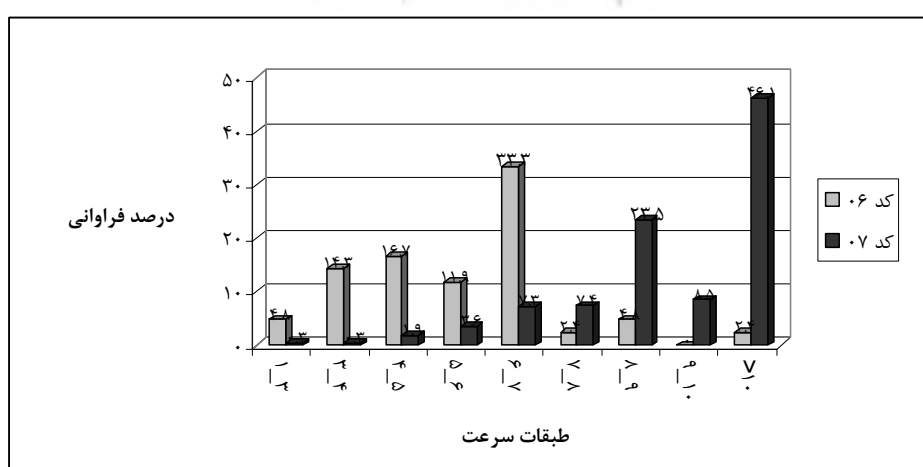
در ادامه، گل غبار سالانه‌ی ایستگاه سینوپتیک سبزوار را به تفکیک کُدهای ۰۶ و ۰۷ رسم کردیم. گل غبار مربوط به سایر کُدها به دلیل کمبود داده‌ها قابل رسم نبود. شکل ۱۰ این دو دیاگرام‌ها را نشان می‌دهد. همان‌طور که در دیاگرام مربوط به کُد ۰۶ (شکل ۱۰-الف) دیده می‌شود، حدود ۵۵ درصد موقع، بادهای همراه با گردوخاک از نیمه‌ی شرقی و در حدود ۲۷ درصد از نیمه‌ی غربی شهرستان به سمت منطقه وزیده است و مابقی از سمت شمال و جنوب است، اما در

دیاگرام مربوط به گد ۰۷ (شکل ۱۰-ب) این بادها بیشتر از ۷۰ درصد موقع، از نیمه‌ی شرقی می‌وزند و وزش آنها از نیمه‌ی غربی تنها در حدود ۲۰ درصد موقع است. مقایسه‌ی این دو دیاگرام نشان می‌دهد که سهم بادهای غربی در انتقال ذرات گردوغبار معلق، بیشتر از سهم آنها در ایجاد گردوغبار محلی است؛ اما نقش بادهای قوی که در اثر استقرار سیستم‌های حرارتی (تشکیل شده در منطقه یا سرزمین‌های اطراف آن) به سمت منطقه می‌وزند، در هر دو دیاگرام قابل توجه است.



شکل ۱۰. الف: گل غبار سالانه‌ی گد ۰۶؛ ب: گل غبار سالانه‌ی گد ۰۷ ایستگاه سینوپتیک سبزوار، دوره‌ی آماری ۱۳۸۷-۱۳۶۷

مقایسه‌ی طبقه‌های سرعت مربوط به هر دو دیاگرام نیز، نشان می‌دهد که در انتقال ذرات ریز معلق، میانگین سرعت باد ۴/۶ متر بر ثانیه است و طبقه‌ی سرعت ۶-۷ متر بر ثانیه بیشترین فراوانی را دارد؛ اما در انتقال ذرات درشت‌تر محلی، میانگین سرعت باد ۹/۲ متر بر ثانیه است و در حدود نیمی از موقع، سرعت باد بیشتر از ۱۰ متر بر ثانیه بوده است (شکل ۱۱).



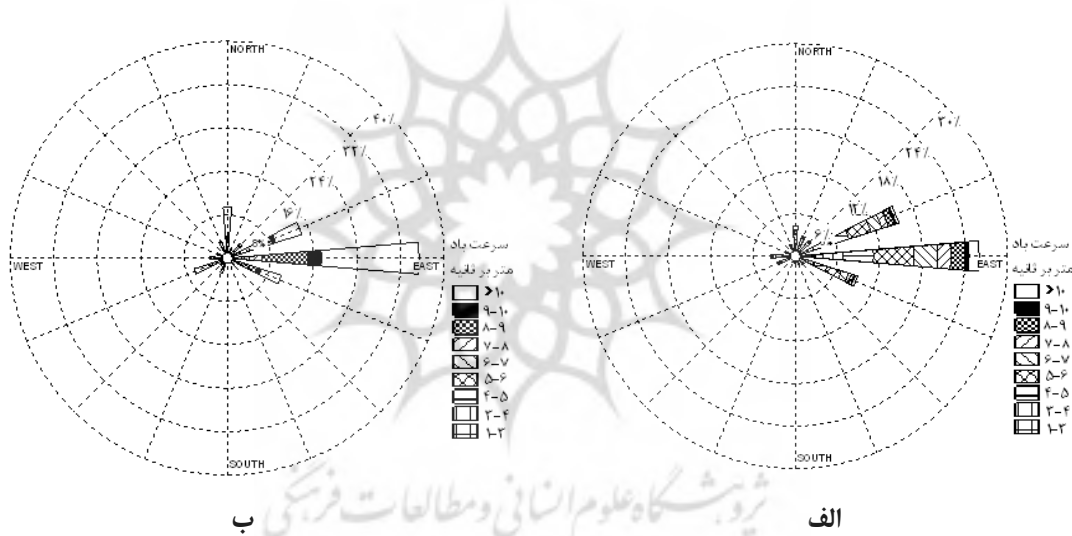
شکل ۱۱. مقایسه‌ی طبقه‌های سرعت بادهای همراه با گردوخاک در دو گد ۰۶ و ۰۷ در طول دوره‌ی آماری ۱۳۸۷-۱۳۶۷

### مطالعه‌ی گلbad و گل غبار فصلی شهر سبزوار

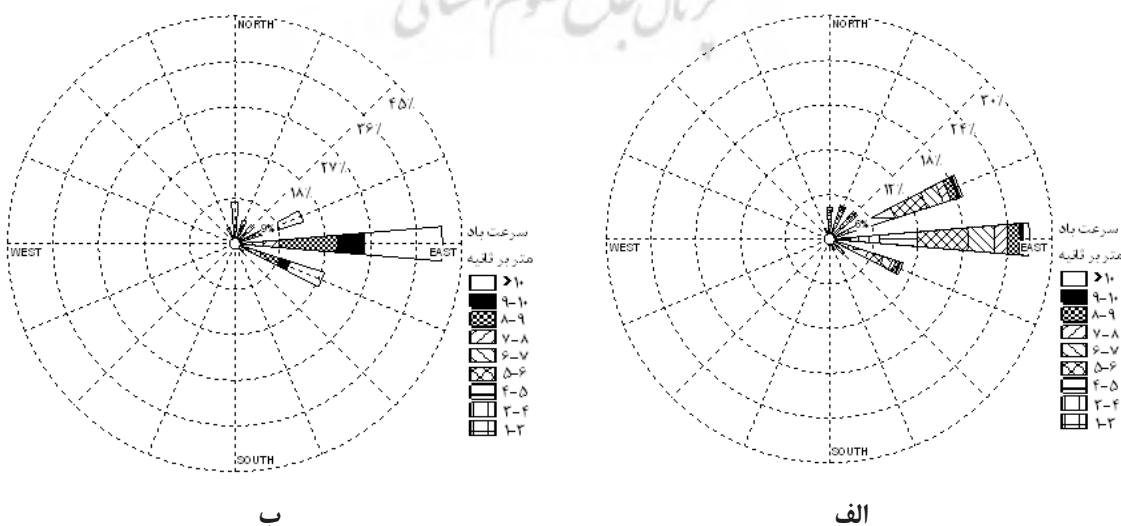
برای تحلیل دقیق‌تر، وضعیت بادهای همراه با گردوخاک، گلbad و گل غبار فصلی شهر سبزوار با درنظرگرفتن کُدهای ۰۶، ۰۷، ۳۰ و ۳۳ در طول دوره‌ی آماری بیست‌ساله (۱۳۸۷-۱۳۶۷) رسم شد. شکل‌های ۱۲ تا ۱۵ این دیاگرامها را نشان می‌دهد که در ادامه، این دیاگرامها مورد بررسی قرار گرفت. در جدول ۵، تعداد گزارش ساعتی پدیده‌ی گردوخاک در هر فصل در طول دوره‌ی آماری بیست‌ساله آورده شده است.

جدول ۵. تعداد داده‌های ساعتی گزارش پدیده‌ی گردوخاک در فصول مختلف سال در طول دوره‌ی آماری بیست‌ساله (۱۳۸۷-۱۳۶۷)

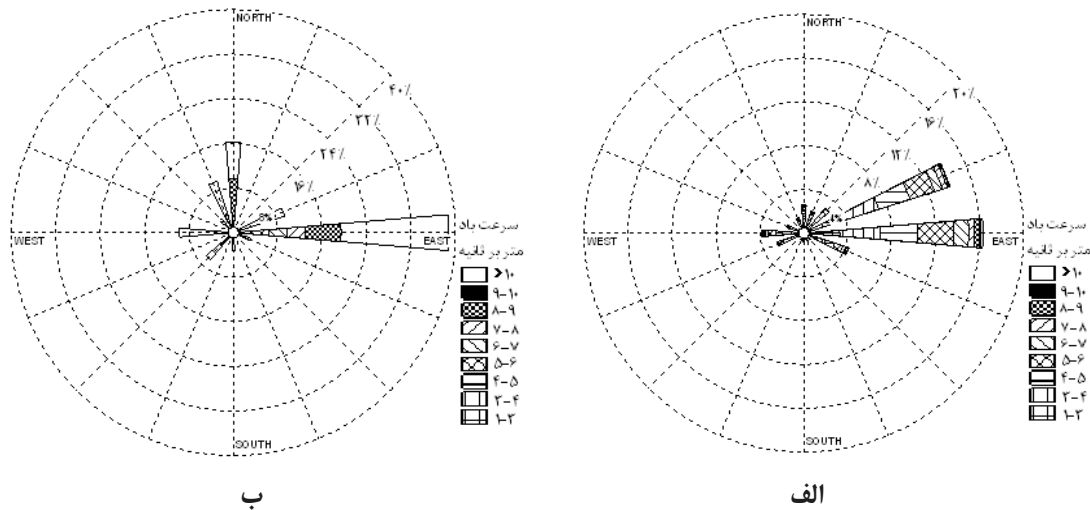
فصل‌های سال	بهار	تابستان	پاییز	زمستان
تعداد داده‌های ساعتی گزارش پدیده‌ی گردوخاک	۳۰۲	۲۰۵	۴۶	۹۴



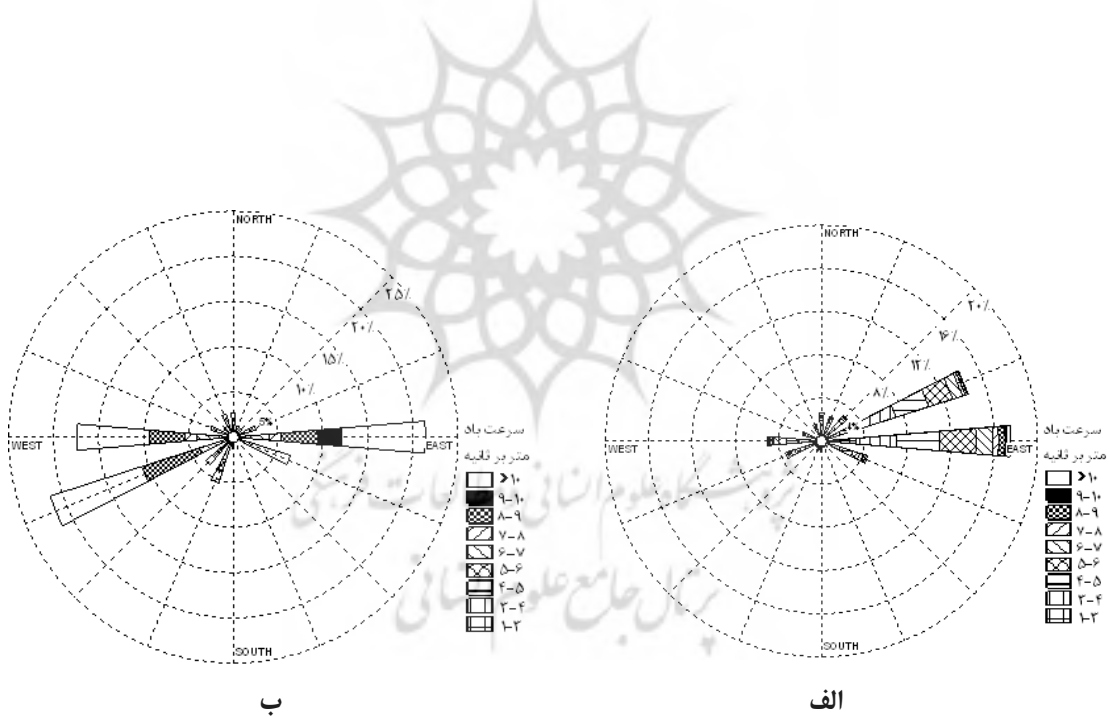
شکل ۱۲. الف: گلbad فصل بهار؛ ب: گل غبار فصل تابستان، ایستگاه سینوپتیک سبزوار، دوره‌ی آماری ۱۳۸۷-۱۳۶۷



شکل ۱۳. الف: گلbad فصل تابستان؛ ب: گل غبار فصل پاییز، ایستگاه سینوپتیک سبزوار، دوره‌ی آماری ۱۳۸۷-۱۳۶۷

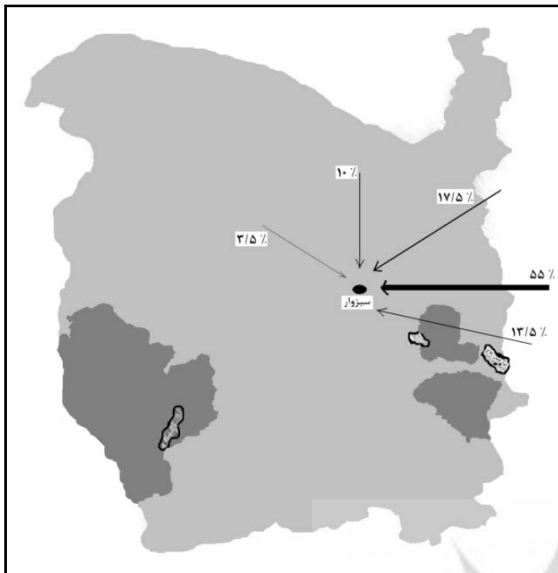


شکل ۱۴. الف: گلbad فصل پاییز؛ ب: گل غبار فصل پاییز، ایستگاه سینوپتیک سبزوار، دوره‌ی آماری ۱۳۶۷-۱۳۸۷

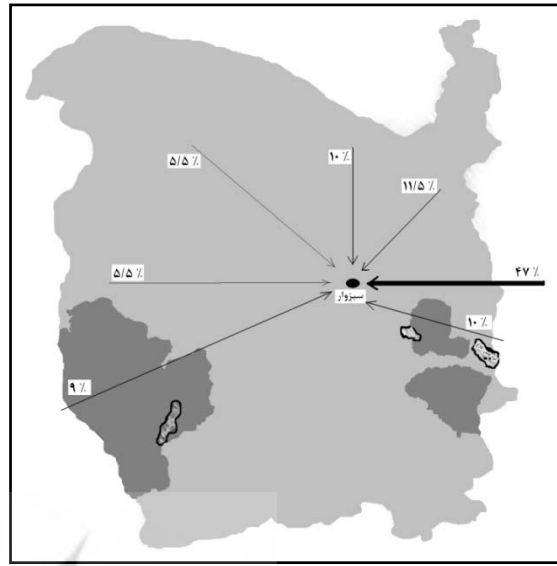


شکل ۱۵. الف: گلbad فصل زمستان؛ ب: گل غبار فصل زمستان، ایستگاه سینوپتیک سبزوار، دوره‌ی آماری ۱۳۶۷-۱۳۸۷

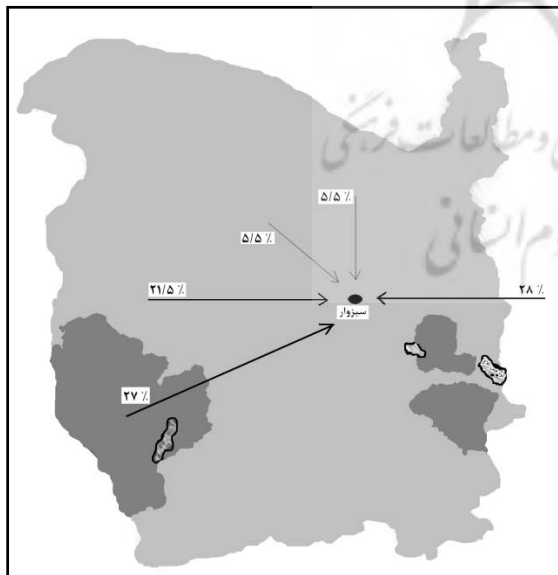
در شکل‌های ۱۶ تا ۱۹ به‌طور طرح‌وار مسیرهای مهم و درصد وزش بادهای همراه با گردوخاک در فصول مختلف سال در هشت جهت اصلی در طول دوره‌ی آماری مذکور رسم شده است. مسیرهایی که درصد وزش باد بسیار ناچیز بوده (کمتر از ۲ درصد) رسم نشده است. مناطق پُررنگ‌تر بر روی نقشه، محل استقرار تپه‌های ماسه‌ای شهرستان است.



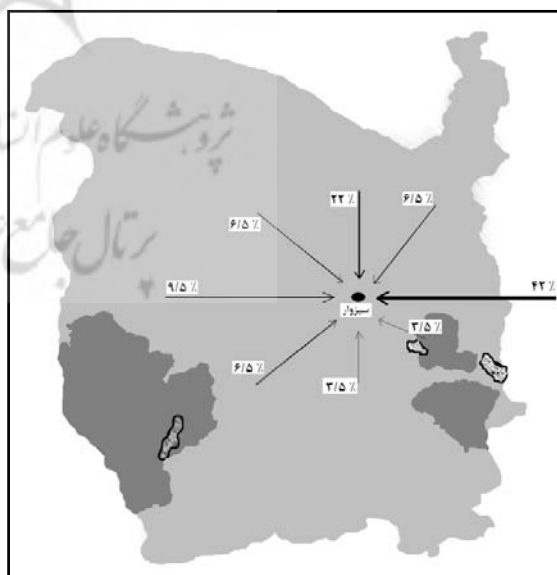
شکل ۱۷. مسیر و درصد وزش بادهای همراه با گردودخاک در فصل تابستان، در طول دوره‌ی آماری ۱۳۶۷-۱۳۸۷



شکل ۱۶. مسیر و درصد وزش بادهای همراه با گردودخاک در فصل بهار، در طول دوره‌ی آماری ۱۳۶۷-۱۳۸۷



شکل ۱۹. مسیر و درصد وزش بادهای همراه با گردودخاک در فصل زمستان، در طول دوره‌ی آماری ۱۳۶۷-۱۳۸۷



شکل ۱۸. مسیر و درصد وزش بادهای همراه با گردودخاک در فصل پاییز، در طول دوره‌ی آماری ۱۳۶۷-۱۳۸۷

در جدول ۶ نیز سرعت متوسط باد و بادهای همراه با گردودخاک در فصول مختلف سال آورده شده است.

جدول ۶. سرعت متوسط باد و بادهای همراه با گردودخاک در فصول مختلف سال، دوره‌ی آماری ۱۳۸۷-۱۳۶۷

فصل‌های سال	بهار	تابستان	پاییز	زمستان
سرعت متوسط باد	۳/۶۹	۳/۷۲	۲/۱۲	۲/۴۵
سرعت متوسط باد همراه با گردودخاک	۸/۷۱	۸/۸۷	۸/۷۱	۸/۳۶

همچنین جداول ۷ و ۸ درصد توزیع طبقه‌های سرعت باد و بادهای همراه با گردودخاک را در فصول مختلف سال

در ایستگاه سینوپتیک سبزوار نشان می‌دهد.

جدول ۷. درصد توزیع طبقه‌های سرعت باد در فصول مختلف سال در ایستگاه سینوپتیک سبزوار

طبقه‌های سرعت (متربر ثانیه)	درصد باد آرام	۱-۳	۳-۴	۴-۵	۵-۶	۶-۷	۷-۸	۸-۹	۹-۱۰	بیشتر از ۱۰
بهار	۲۳/۶	۱۰/۳	۱۳/۵	۱۴/۲	۱۵/۷	۸/۸	۴/۲	۴/۸	۱/۴	۳/۶
تابستان	۲۰/۹	۱۰/۶	۱۳/۱	۱۵/۵	۱۷/۹	۹/۵	۴/۲	۴/۶	۱/۴	۲/۳
پاییز	۴۴/۲	۱۴/۳	۱۴/۵	۱۰/۸	۸/۹	۳/۵	۱/۶	۱/۳	۰/۳	۰/۷
زمستان	۳۹/۱	۱۴/۱	۱۴/۴	۱۲/۶	۹/۶	۴/۸	۱/۵	۱/۹	۰/۵	۱/۴

جدول ۸. درصد توزیع طبقات سرعت بادهای همراه با گردودخاک در فصول مختلف سال در ایستگاه سینوپتیک سبزوار

طبقه‌های سرعت (متربر ثانیه)	درصد باد آرام	۱-۳	۳-۴	۴-۵	۵-۶	۶-۷	۷-۸	۸-۹	۹-۱۰	بیشتر از ۱۰
بهار	۱/۸	۱/۴	۲/۲	۵	۴	۹	۶/۵	۲۰/۱	۶/۵	۴۳/۵
تابستان	۰/۵	۰	۰/۵	۱/۱	۲/۷	۸/۷	۹/۳	۲۶/۲	۱۰/۹	۳۹/۹
پاییز	۰	۳/۲	۳/۲	۶/۵	۶/۵	۹/۷	۹/۷	۲۲/۶	۰	۴۸/۴
زمستان	۸	۰	۰	۱/۳	۹/۳	۱۲	۴	۲۰	۴	۴۱/۳

بر اساس اطلاعات استخراج شده از مطالعه‌ی گلbad و گل غبارهای سالانه و فصلی ایستگاه سینوپتیک سبزوار، نتایج

زیر به دست آمد:

- با توجه به گلbadهای فصلی، جهت باد غالب در تمام فصول سال، شرقی (۷۸/۷۵-۱۰۱/۲۵) است. بیشترین درصد وزش باد از سمت شرق، مربوط به فصل تابستان با ۲۶/۸ درصد در سال و کمترین آن در فصل پاییز با ۱۶/۲۵ درصد است. مطالعه گل غبارهای فصلی نیز نشان داد که بیشینه‌ی بادهای همراه با گردودخاک در تمام فصول سال به‌جز زمستان از سمت شرق می‌وزد که حداقل آن در فصل تابستان با ۵۰ درصد و حداقل آن با ۳۵ درصد در بهار است. در فصل زمستان بادهای همراه با گردودخاک به نسبت مساوی ۲۱/۳ درصد از دو جهت شرق و غرب - جنوب‌غربی (۲۳۶/۲۵-۲۵۸/۷۵) می‌وزد.

- ۲- با توجه به جدول ۷، فصل تابستان بادخیزترین فصل سال است و فقط در ۲۰/۹ درصد موقع، هوا آرام است، از طرف دیگر، فصل پاییز با ۴۴/۲ درصد، آرام‌ترین هوا را در طول سال دارد.
- ۳- با توجه به جدول ۶، سرعت متوسط باد در فصول بهار و تابستان (دوره‌ی گرم سال)، از میانگین سالانه که ۳ متربرثانیه است، بالاتر است و فصل تابستان با ۳/۷۲ متربرثانیه، بیشترین میانگین سرعت باد را دارد. این میانگین در فصول پاییز و زمستان (دوره‌ی سرد سال)، از میانگین سالانه پایین‌تر است و در فصل پاییز با ۲/۱۲ متربرثانیه به حداقل می‌رسد.
- ۴- با توجه به جدول ۶ در مقایسه با میانگین سرعت باد، میانگین سرعت بادهای همراه با گردوخاک در فصول مختلف بسیار بالاتر است. فصل تابستان با میانگین ۸/۸۷ متربرثانیه بالاترین و فصل زمستان با میانگین ۸/۳۶ متربرثانیه، کمترین میانگین سرعت باد را دارند.
- ۵- با بررسی جداول ۷ و ۸، مشخص شد که در دوره‌ی گرم سال بادهایی با طبقه سرعت ۵ تا ۶ متربرثانیه و دوره‌ی سرد سال طبقه‌ی ۳ تا ۴ متربرثانیه بیشترین فراوانی وقوع را دارند، اما بررسی طبقه‌های بادهای همراه با گردوخاک در طول دوره‌ی گرم و دوره‌ی سرد سال نشان می‌دهد بیشترین درصد وزش باد مربوط به طبقه سرعت بیش از ۱۰ متربرثانیه است.
- ۶- بنا به جدول ۵، حدود ۷/۷۷ درصد از کل گزارش ساعتی پدیده‌ی گردوخاک در شهر سبزوار، در دوره‌ی گرم سال و ۲۲/۳ درصد باقی‌مانده در دوره‌ی سرد سال اتفاق می‌افتد. در این میان فصل بهار با ۴۶/۲ درصد بیشترین و فصل پاییز با ۷/۲ درصد کمترین گزارش پدیده‌ی گردوخاک را در طول سال دارند.
- گلbadها و گل غبارهای فصلی سبزوار، همانند گلbad و گل غبار سالانه، تأثیر سیستم‌های جوئی مختلف را در طول سال به خوبی و با دقّت بیشتر نشان می‌دهند. درصد بالای وزش باد از نیمه‌ی شرقی به سمت منطقه در دوره‌ی گرم سال، دلیل بر چیرگی سیستم‌های حرارتی در این فصول است که با افزایش تابش خورشید در این ماهها وجود دشت‌ها و کویرهای گسترده در اطراف شهر سبزوار، سبب ایجاد کم‌فشارهای حرارتی در سطح زمین می‌شود و جریان‌های باد را از بلندی‌های اطراف به سمت دشت سبزوار ایجاد می‌کند؛ اما با آغاز دوره‌ی سرد سال، وزش باد از نیمه‌ی غربی منطقه، به‌ویژه جهت غرب و غرب - جنوب‌غرب رو به افزایش است که با نفوذ جریان‌های غربی و مدیترانه‌ای و وزش بادهای شدید به منطقه، سازگار است. در صورت شکل‌گیری شرایط ویژه، این سیستم‌ها می‌توانند، در منطقه پدیده‌ی گردوخاک ایجاد کنند. بررسی گل غبارهای های فصلی نیز این مطلب را تأیید می‌کند؛ زیرا با شروع فصل پاییز از درصد وزش باد از نیمه‌ی شرقی کاسته شده و به درصد بادهای نیمه‌ی غربی افزوده می‌شود، به‌طوری که با توجه به شکل ۱۹ در فصل زمستان، در بیش از نیمی از موقع، بادهای همراه با گردوخاک از نیمه‌ی غربی وزیده است.

## بحث و نتیجه‌گیری

شهر سبزوار در شمال شرق کشور، از مکان‌های مساعد برای رخداد پدیده‌ی گردوخاک محسوب می‌شود. در این مقاله براساس کُدهای هواشناسی ۰۶ و ۰۷، ۳۰ و ۳۲ و ۳۳، که در ایستگاه سینوپتیک سبزوار برای ثبت پدیده‌ی گردوخاک

گزارش شده بود، دیاگرام گل غبار رسم شد و رژیم سالانه و فصلی بادهای همراه با گردوخاک مورد مطالعه قرار گرفت. بررسی آماری دوره‌ی بیست‌ساله (۱۳۶۷-۱۳۸۷) مشخص کرد که وقوع روزهای همراه با گردوخاک در طول دوره‌ی آماری مذکور روند افزایشی داشته است. همچنین در این شهر در دوره‌ی گرم سال (فصل بهار و تابستان) و بهویژه در بعدازظهرها شرایط وقوع پدیده‌ی گردوخاک مناسب‌تر از سایر زمان‌ها است. مقایسه‌ی فراوانی فصلی پدیده‌ی گردوخاک در طول دوره‌ی آماری مذکور نشان می‌دهد که نظام مشخصی در وقوع فصلی این پدیده طی سال‌های مختلف وجود ندارد و این مسئله مبین این نکته است که عوامل مؤثر در ایجاد و یا تشدید این پدیده از سالی به سال دیگر تغییر می‌کند یعنی تغییر در شرایط اقلیمی و سیستم‌های هوایی در زمان بروز این پدیده نقش مهمی دارند. همچنین بررسی آماری کُدهای هواشناسی گزارش شده در دیدهبانی‌های ایستگاه سینوپتیک سبزوار نشان داد که ۰۷ با ۵۸۷ مورد گزارش ساعتی، بیش از ۹۰ درصد ثبت ساعتی پدیده‌ی گردوخاک را در طول دوره‌ی آماری موردنظر در میان سایر کُدها به‌خود اختصاص داده است که نشان می‌دهد، ذرات گردوخاک در بیشتر مواقع، در محل ایستگاه از زمین بلند شده است و در واقع مبین محلی‌بودن معضل گردوخاک در منطقه است. بررسی گلباد سالانه در ایستگاه سینوپتیک سبزوار در طول دوره‌ی آماری ۱۳۶۷-۱۳۸۷ مشخص کرد که سرعت متوسط باد  $3\text{ m/s}$  است و طبقه سرعت  $3\text{ to }4\text{ m/s}$  بیشترین فراوانی را دارد. به‌نظر می‌رسد، این شرایط برای بروز معضل گردوخاک در این شهر، مناسب نیست؛ اما، محاسبه‌ی سرعت متوسط  $8\text{ m/s}$  باید عوامل، می‌توانند سبب بروز پدیده‌ی گردوخاک که در حدود  $43\text{ km/h}$  درصد آنها سرعتی بیش از  $10\text{ m/s}$  دارند، مشخص می‌کند که در موقعی از سال، شرایط برای وزش بادهای قوی در منطقه فراهم می‌شود. این بادهای شدید به همراه سایر عوامل، می‌توانند سبب بروز پدیده‌ی گردوخاک در منطقه شوند. علاوه‌بر این، بر طبق دیاگرام گلباد سالانه، در  $73/75$  درصد از کل زمان‌های وزش باد به منطقه در طول دوره‌ی آماری بیست‌ساله، جهت وزش باد از شمال شرق تا جنوب شرق را پوشش می‌دهد و در  $11/65$  درصد موضع، از جنوب‌غرب تا شمال‌غرب را دربرمی‌گیرد و فقط در  $14/6$  درصد از جهات دیگر به‌سمت شهر سبزوار می‌وزد یعنی در  $85/4$  درصد از کل زمان‌های وزش باد به منطقه جهت وزش باد در مسیر شرقی - غربی است. همچنین با توجه به دیاگرام گل غبار سالانه، در  $46/66$  درصد از کل زمان‌های وزش بادهای همراه با گردوخاک به منطقه، از جهت شمال‌شرق تا جنوب‌شرق است و در  $9/14$  درصد، از جنوب‌غرب تا شمال‌غرب را دربرمی‌گیرد که در مجموع  $36/81$  درصد از کل موضع در مسیر شرقی - غربی است. این نتیجه با وضعیت توپوگرافی شهرستان سبزوار مطابقت کامل دارد و به‌نظر می‌رسد که باد در این شهر در مسیر شرقی - غربی کاتالیزه می‌شود.

همچنین گل غبارهای سالانه که به تفکیک دو کُد هواشناسی  $6/0$  و  $7/0$  ترسیم شدند مشخص کرد، بادهایی که در اثر تشکیل سیستم‌های حرارتی در شش ماهه‌ی اول سال، از نیمه‌ی شرقی به‌سمت منطقه می‌وزند، در بروز گردوخاک‌های محلی و گردوخاک‌های فرامنطقه‌ای نقش مهمی بر عهده دارند، اما، نقش بادهای غربی در انتقال ذرات ریز معلق از سرزمین‌های دور به‌سمت منطقه پرنگتر است. مقایسه‌ی طبقه‌های سرعت مربوط به هر دو دیاگرام نیز نشان می‌دهد که در انتقال ذرات ریز معلق، میانگین سرعت باد  $6/4$  متربرثانیه است و طبقه سرعت  $7/6$  متربرثانیه بیشترین فراوانی را دارد، اما، در انتقال ذرات درشت‌تر محلی میانگین سرعت باد  $2/9$  متربرثانیه است و در حدود نیمی از موقع

سرعت باد بیش از ۱۰ متر بر ثانیه است. بررسی گلbadهای فصلی نشان می‌دهد که فصل تابستان بادخیزترین فصل سال است و فقط در ۲۰/۹ درصد موقع، هوا آرام است و همچنین میانگین سرعت باد در این فصل بیشتر از سایر فصول است (۳/۷۲ متر بر ثانیه). همچنین مطالعه‌ی گل غبارهای فصلی نشان می‌دهد که در ۷/۷ درصد موقع، پدیده‌ی گردودخاک در دوره‌ی گرم سال اتفاق می‌افتد و بادهایی با سرعت بیش از ۱۰ متر بر ثانیه، بیشترین فراوانی را دارند و فصل بهار با ۴۶/۲ درصد بیشترین گزارش ساعتی پدیده‌ی گردودخاک را به خود اختصاص می‌دهد. با توجه به شکل‌های ۱۶ تا ۱۹ در دو فصل بهار و پاییز به دلیل تغییر فصل و بروز اغتشاش در سیستم‌های هوایی و جابه‌جایی آنها در ابعاد فرامنطقه‌ای، وردش‌پذیری باد بیشتر شده و بادهای همراه با گردودخاک کم‌وبیش از همه‌ی جهات به سمت منطقه می‌وزد، اما، در دو فصل تابستان و زمستان به دلیل استقرار نسبی سیستم‌های مؤثر در ایجاد بادهای شدید، جهت وزش بادهای همراه با گردودخاک کم‌وبیش به جهات مشخصی اختصاص یافته است.

در مجموع با توجه به توپوگرافی شهرستان سبزوار و کانالیزه شدن باد در مسیر شرقی - غربی و وجود مناطق گستردگی جهت فرسایش بادی و برداشت ذرات ریز خاک در مسیر وزش باد، مانند بستر رودخانه‌های خشک (مهم‌ترین آنها رودخانه‌ی فصلی کال‌شور در جنوب شهر سبزوار)، بیانانه‌ای سنگی با هوازدگی شدید، مناطق لسی، رسوبات دشت‌های سیلابی آبرفتی و سرانجام تپه‌های ماسه‌ای (حدود ۳۶/۵ کیلومتر مربع) و همچنین محاسبه‌ی سرعت متوسط ۸/۷۵ متر بر ثانیه برای بادهای همراه با گردودخاک، به نظر می‌رسد شرایط برای شکل‌گیری و تشید این پدیده در سبزوار آماده شده و سبب بروز معضل جوئی گردودخاک در این منطقه می‌شود.

## منابع

- Omidvar, K., 2005, **The Study and Synoptic Analysis of Sand Storms in Ardakan-Yazd Plain**, Geographical Research of Yazd University, pp. 215-225.
- Hosseini, S.B., 2000, **Synoptic Study of Severity Storm in Tehran**, Thesis of Meteorology for the Degree of M.A, Tarbiat Modares University.
- Dehghan Tezerjani, M., 2008, **A Study of Wind Power Using in Producing Energy and its Site Selection in Yazd Province**, Thesis of Physical Geography (Climatology) for the Degree of M.A, Yazd University.
- Zolfaghari, H., Abedzadeh, H., 2005, **A Synoptic Analysis of Dust Systems at the West Part of Iran**, Geography and Development Iranian Journal, No 6, pp. 173-188.
- List Set of Code Forms with Notes and Regulation**, 2008, Meteorological Bureau of Mashhad.
- Marjani, S., 1993, **Synoptic Study of Severe Winds More than 15 m/s (Storm) in Khorasan**, Thesis of Meteorology (Synoptic) for the Degree of M.A, Tehran University.
- Nekoonam, Z., 2008, **Analysis of Dust Storms in Sabzevar City**, Thesis of Physical Geography (Climatology) for the Degree of M.A, Yazd University.
- Chan, C.K., Yao, X., 2008, **Air Pollution in Mega Cities in China**, Atmospheric Environment, Vol. 42, Issue 1, pp. 1-42.
- Chen, W., 1996, **Wind Tunnel Test of the Influence of Moisture on the Erdibility of Loessial Sandy Loam Soils by Wind**, Journal of Arid Environments, 34, pp. 391-402.

- Goudie, A.S., Midelton, N.J., 2001, **Saharan Dust Storm: Nature and Consequences**, Earth-Science Reviewsm, 56, pp. 179-204.
- Jackson, V.H., 1913, **Atmospheric Electrification during Dust Storm**, Journal of the Franklin Institute, Vol. 176, Issue 1, pp. 145.
- Liu, G., Park, S.U., 2007, **The Logarithm-Linear Relationship of the Occurrence Frequency to the Duration of Sand-dust Storms: Evidencee from Observational Data in China**, Journal of Arid Environments, Vol. 71, pp. 243-249.
- Tohno, CH. Ma., Kasahara, S., Hayakawa, SH. M., 2003, **Properties of Individual Asian Dust Storm Particles Collected at Kosan**, Korea during ACE-Asia, Atmospheric Environment, Vol. 38, pp. 1133-1143.
- Meng, Z., Zhang, Q., 2007, **Damage Effects of Dust Storm PM 2.5 on DNA in Alveolar Macrophages and Lung Cells of Rats**, Food and Chemical Toxicology, Vol. 45, pp. 1368-1374.
- Orlovsky, L., Orlovsky, N., Durdyev, A., 2004, **Dust Storms in Turkmenistan**, Journal of Arid Environments, Vol. 60, pp. 83-97.
- Qiang, M., Chen, F., Zhou, A., Xiao, SH., Zhang, J., Wang, Zh., 2007, **Impacts of Wind Velocity on Sand and Dust**, Deposition during Dust Storm as Inferred from a Series of Observations in the Northeastern Qinghai-Tibetan Plateau, China, Powder Technology, Vol. 175, Issue 2, pp. 82-89.
- Tanaka, T.Y., Kurosaki, Y. Chiba, M., Matsumura, T., Nagai, T., Yamazaki, A., Uchiyama, A., Tsunematsu, N., Kai, K., 2005, **Possible Transcontinental Dust Transport from North Africa and the Middle East to East Asia**, Atmospheric Environment, Vol. 39, pp. 3901-3909.
- Wang, W., Fang, Z.Y., 2006, **Numerical Simulation and Synoptic Analysis of Dust**, Emission and Transport in East Asia, Global and planetary change, Vol. 52, pp. 57-70.
- Weihong, Q., Shaoyinshi, 2001, **Variations of The Dust Storm in China and Its Climatic Ontrol**, Journal of climate, Vol. 15, pp. 357-368.
- Yadav, S., Et al, 2007, **Characterisation of Bio-aerosols during Dust Storm Period in N-NW India**, Atmospheric Environment, Vol. 41, pp. 6063-6073.
- Yang, B., Brauning, A., Zhang, Z., Dong, Zh., Esper, J., 2007, **Dust Storm Frequency and Its Relation to Climate Changes in Northern China during the Past 1000 Years**, Atmospheric Environment, Vol. 41, pp. 9288-9299.
- Yang, Y.Q., Hou, Q., Zhou, C.H., Liu, H.L., Wang, Y.Q., Niu, T., 2008, **Sand /Dust Storm Processes in Northeast Asia and Associated Large-scale Circulations**, Atmospheric Chemistry and Physics, Vol. 8, pp. 25-33.

WWW.Google Earth

WWW.Sid.ir

WWW.Scencedirect.com

WWW.weather.ir